

Experimentelle Methoden

Vorlesung von Prof. Dr. apl. Horst Fischer im Sommersemester 2019

Markus Österle Damian Lanzenstiel

17. Juni 2019

Inhaltsverzeichnis

0	Einführung	3
0.1	Wichtige Infos	3
0.2	Programm der Vorlesung	3
1	Wechselwirkung geladener Teilchen mit Materie	4
1.1	Klassische Betrachtung der Rutherfordstreuung	4
1.2	Energieverlust von Elektronen e^- und Positronen e^+	5
1.2.1	Strahlungslänge	6
2	Wechselwirkungen von Quanten / Photonen	7
2.1	Photoeffekt	7
2.2	Compton Streuung	7
2.3	Paarbildung	8
2.3.1	Schwellen	8
3	Detektoren für die Orts- und Zeitmessung	9
3.1	Ionisationsdetektoren	9
3.2	Halbleiterzähler	10
3.2.1	Funktionsprinzip:	10
3.2.2	Grundlagen	11
3.3	Szintillationsdetektor	11
3.3.1	Funktionsprinzip	11
3.4	Photomultiplier	11
4	Teilchenidentifikation	12
4.1	Čerenkov Strahlung	12
4.2	Übergangsstrahlung	13
4.3	Kalorimeter	13
5	Statistik und Wahrscheinlichkeiten	15
5.1	Einführung	15
5.2	Verteilung einer Zufallsvariable	17
5.2.1	Diskussion der Verteilungsfunktion	17
5.11	Wichtige Verteilungen	18
5.11.1	Binomialverteilung	18
5.11.2	Poisson Verteilung	19
5.11.3	Gleichverteilung	19
5.11.4	Gauß-Verteilung / Normalverteilung	20
7	Stichproben und Schätzwerte	21
7.0.1	Def: Konsistenz	21
7.0.2	Def: Bias (Versatz) des Schätzwerts	21
7.1	Arithmetisches Mittel	22

7.1.1	Def:	22
7.1.2	Def: Varianz der Stichprobe	22
7.2	Anmerkungen zu Unsicherheit	22

Kapitel 0

Einführung

0.1 Wichtige Infos

Vorlesung Montag 14:15 - 15:45

Übungen ILIAS

Kontakt Horst Fischer Physikhochhaus Zi. 609
★hier fehlt was★ (email usw. Folie 1)

0.2 Programm der Vorlesung

- Grundlagen moderner Nachweissysteme
- Grundlagen der Statistik und Unsicherheitsbetrachtungen
- Grundlagen der Analogelektronik

Kapitel 1

Wechselwirkung geladener Teilchen mit Materie

Nachweis durch Wirkung des Teilchens auf die Materie

- Ionisation, Szintillation
- Čevenkov-, Übergangsstrahlung
- Rückstoß

⇒ Teilcheneigenschaften verändert

- Energieverlust
- Richtungsänderung
- Identitätsverlust

1.1 Klassische Betrachtung der Rutherfordstreuung

- stimmt mit QM in niederster Ordnung überein

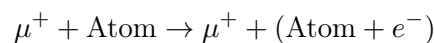
solange: „schwere Teilchen“

$v \gg v_e$ in Hülle

$\Delta E \gg$ Bindungsenergie von e^-

★hier fehlt eine Grafik★

Typisches Beispiel:



Coulomb-Kraft

$$F_{\parallel}(x) = F_{\parallel}(-x)$$
$$F_{\perp} = \frac{1}{4\pi\epsilon_0} \frac{z \cdot e \cdot Z \cdot e}{r^2} \frac{b}{|\mathbf{r}|}$$

Impulsübertrag

$$\Delta\rho_T = \int_{-\infty}^{\infty} F_{\perp} df = \frac{e^2}{4\pi\epsilon_0} \cdot \frac{2Z \cdot z}{\beta cb}$$

$\beta = \frac{v}{c}$ Mehr zum Thema und die genaue Rechnung findet man im Lehrbuch von Jackson.

Energieübertrag

[Folie: Energieverlust: klassisch nach Bohr]

$$\Delta E = \frac{\Delta \rho_T^2}{2M} = \frac{e^4}{(4\pi\epsilon_0)^2} \cdot \frac{Z^2 z^2}{M\beta^2 c^2 b^2} \propto \frac{1}{b^2}$$

bei Kohärenter Streuung

$$\frac{\Delta E \text{ Elektronenhülle}}{\Delta E \text{ Kern}} = \frac{2m_p}{m_e} \approx 4000$$

Hülle: $M = Z \cdot m_e$

Kern: $M = A \cdot m_p = 2Z \cdot m_p$

\Rightarrow Die Streuung am Kern ist vernachlässigbar

Der gesamte (mittlere) Energieverlust ist dann:

$$\langle dE \rangle = \int \underbrace{\Delta E \cdot 2\pi b \, db}_{\text{Volumenelement}} \cdot \underbrace{Z \cdot \frac{\rho \cdot N_A}{A}}_{=n_e} dx$$

Bethe-Bloch Beziehung

$$\begin{aligned} \left\langle \frac{dE}{dx} \right\rangle &= D \cdot \underbrace{\frac{Z \cdot \rho}{A}}_{\text{Medium}} \cdot \underbrace{\left(\frac{z}{\beta} \right)^2}_{\text{Projektil}} \cdot \underbrace{\ln \left(\frac{b_{\max}}{b_{\min}} \right)}_{\frac{1}{2} \ln \left(\frac{2m_e c^2 \gamma^2 \beta^2}{I} T_{\max} \right)} \\ &= D \cdot \underbrace{\frac{Z \cdot \rho}{A}}_{\text{Medium}} \cdot \underbrace{\left(\frac{z}{\beta} \right)^2}_{\text{Projektil}} \cdot \frac{1}{2} \ln \left(\frac{2m_e c^2 \gamma^2 \beta^2}{I} T_{\max} \right) \end{aligned}$$

mit $I = \hbar\omega$: Ionisationspotential des Streuzentrums

und T_{\max} : der Energie des e^- tragen kann

[Folie: Energieverlust]

[Folie: Mittlerer Energieverlust nach Bethe Bloch]

[Folie: Relativistischer Anstieg]

[Folie: Materialabhängigkeit des mittleren Energieverlusts]

[Folie: Minimaler Energieverlust]

[Folie: Abhängigkeit vom Ionisationspotential]

[Folie: Reichweite von Teilchen in Materie]

[Folie: Bragg-Kurve](Einstrahl-Tiefe in einen Menschen)

[Folie: Anwendung Teilchenidentifizierung]

[Folie: Energieverlust von Teilchen durch Ionisation]

1.2 Energieverlust von Elektronen e^- und Positronen e^+

Bremsstrahlung führt zu zusätzlichem Energieverlust.

$$E_K \approx \frac{600 \dots 700}{Z} \text{ MeV} \quad \text{kritische Energie}$$

Z des Materials. Unterschiede zwischen fest, flüssig, gasförmig.

Material	E_K
Luft:	84,0 MeV
Pb:	7,4 MeV

$$\left. \frac{dE}{dx} \right|_{\text{Brems}} \propto \frac{Z^2}{m^2} \quad \begin{array}{l} \text{Target} \\ \text{Projektil} \end{array}$$

Bremsstrahlung wichtig für e^\pm

$$\frac{m_\mu^2}{m_e^2} \left(\frac{100}{0,5} \right)^2 = 40000$$

(Eigentlich 105 statt 100)

Bremsstrahlung führt zu

$$\begin{aligned} \frac{dE}{dx} &= E_e \cdot 4\alpha r_e^2 N_A \frac{\rho Z}{A} \left\{ \ln \frac{183}{Z^{1/3}} + \frac{1}{18} - f(z) \right\} \\ f(z) &= \alpha Z \left\{ \frac{1}{1 + \alpha^2 Z^2} + 0.2 + \mathcal{O}(\alpha Z^2) \right\} \end{aligned}$$

α : gemessene Konstante $\alpha = 5,3$ für H | 3 Pb

1.2.1 Strahlungslänge

$$\frac{1}{L_{\text{rad}}} = 4\alpha r_e^2 N_A \frac{\rho Z}{A} \left\{ \ln \frac{183}{Z^{1/3}} + \frac{1}{18} - f(z) \right\} = \frac{dE}{dx} \cdot \frac{1}{E_e}$$

(Die Formale stammt von Bether Heitler).

Die Strahlungslänge ist die Distanz, in der die e^\pm den Bruchteil $(1 - 1/e)$ der Energie durch Bremsstrahlung verlieren.

$$\left. \frac{dE}{dx} \right|_{\text{Brems}} = \frac{E_e}{L_{\text{rad}}}$$

Kapitel 2

Wechselwirkungen von Quanten / Photonen

2.1 Photoeffekt

Photoeffekt = Absorption eines Photons ist gebunden an Hüllenelektron

$$\gamma e^- A \rightarrow e^- A^+$$

★hier fehlt eine Grafik★

Wichtig $E_\gamma \gtrsim E_{\text{bindung}} \approx \mathcal{O}(100 \text{ keV})$. 10% der WW an e^- der inneren Schalen.

$$\sigma_{\text{tot}} \propto Z^5 \cdot \left(\frac{m_e c}{E_\gamma} \right)^{-7/2}$$

Wichtig: $\sigma_{\text{Photoeffekt}}$ ist pro Atom

2.2 Compton Streuung

[Folie: Wechselwirkung von Photonen mit Materie]

Streuung an quasi-freien e^- :

★hier fehlt eine Grafik★

Energie & Impulserhaltung

$$E_{\gamma'} = \frac{E_\gamma}{1 + \frac{E_\gamma}{m_e c^2} (1 - \cos \theta)}$$

$$\lambda_{\gamma'} = \lambda_\gamma + \lambda_C (1 - \cos \theta)$$

Compton Wellenlänge

$$\lambda_C \leq \frac{\hbar}{m_e c^2} = \frac{r_e}{\alpha_{\text{em}}} = 39 \cdot 10^{-13} \text{ m}$$

Wichtig:

$$E_{\gamma'}^{\text{max}}(\theta = 0) = E_\gamma$$

$$E_{\gamma'}^{\text{min}} = \frac{E_\gamma}{1 + 2 \frac{E_\gamma}{m_e c^2}}$$

Wegen der Impulserhaltung gilt:

$$\theta_e^{\text{max}} \leq \frac{\pi}{2}$$

Wirkungsquerschnitt (aus der Quantenelektrodynamik (QED))

$$\sigma_{\text{Compton}} \propto \frac{1}{E_\gamma} \cdot \ln \frac{2E_\gamma}{m_e c^2}$$

Erzeugung hochenergetischer Photonen durch inverse Compton-Streuung.

2.3 Paarbildung

Paarbildung ist nur möglich in der Nähe eines Kerns (wegen Energie- und Impulserhaltung).

2.3.1 Schwellen

$$E_\gamma > 2m_e \approx 1,02 \text{ MeV} \quad \text{im Kernfeld}$$

$$E_\gamma > 4m_e \approx 2,04 \text{ MeV} \quad \text{im Elektronenfeld}$$

$$\gamma + A \rightarrow e^- e^+ (A)$$

★hier fehlt eine Grafik★

$$\gamma + e^- \rightarrow e^- e^+ e^-$$

(Indent-Reaktion)

★hier fehlt eine Grafik★

$$\sigma_{\text{Paar}} \propto \ln 183 Z^{-1/3} \propto \frac{1}{L_{\text{rad}}}$$

Insgesamt erhalten wir also für den Photoeffekt, die Compton-Streuung und die Paarbildung zusammen:

$$\sigma_{\text{tot}} \propto \sigma_{\text{Photo}} + \sigma_{\text{Compton}} + \sigma_{\text{Paar}}$$

$$\sigma_\gamma \propto c_1 Z^5 E^{7/2} + c_2 Z \frac{1}{E} \ln E + c_3 Z^2$$

Minimum bei $\mathcal{O}(10 \text{ MeV})$

\Rightarrow große Reichweite !

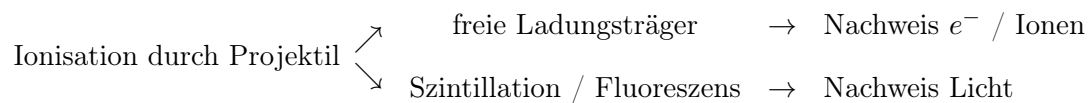
Kapitel 3

Detektoren für die Orts- und Zeitmessung

Programm Heute:

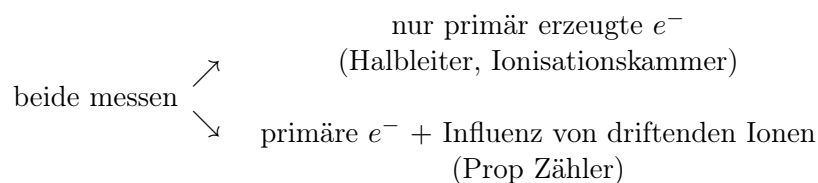
- Ionisationsdetektoren
- Szintillation
- Photomultiplier (PM)

„Rekation“ im Material auf elektrische geladenes Teilchen oder Quanten



3.1 Ionisationsdetektoren

- mit flüssigem oder gasförmigen Edelgas + Beimischungen als „Quentscher“
- Halbleiter



★hier fehlt eine Grafik★ Strohalmdetektor

Elektrisches Feld aus statischen Maxwellgleichungen:

$$\begin{aligned}\nabla \cdot \mathbf{E} &= \frac{1}{\varepsilon_0} \rho \\ \int_S \mathbf{E} d\mathbf{S} &= \frac{1}{\varepsilon_0} \int_V \rho dV\end{aligned}$$

auf Drahtlänge Δz befindet sich die Ladung ΔQ

$$\begin{aligned}E(r) \cdot 2\pi r \Delta z &= \frac{1}{\varepsilon_0} \Delta Q \\ \Rightarrow E(r) &= \frac{1}{2\pi\varepsilon_0} \frac{1}{r} \frac{dQ}{dz}\end{aligned}$$

Das \mathbf{E} -Feld wird durch angelegte Spannung erzeugt. Aus der Abbildung oben folgt dann:

$$\int_{r_i}^{r_a} E(r) dr = U = \frac{1}{2\pi\epsilon_0} \cdot \ln\left(\frac{r_a}{r_i}\right) \cdot \frac{dQ}{dz}$$

$$E(r_0) = \frac{U}{r_0 \ln\left(\frac{r_a}{r_i}\right)}$$

[Folie: Arbeitsbereiche von Gasionisationsdetektoren]

[Folie: Funktionsprinzip Gasionisationsdetektoren]

Ionisationszähler → Dosimetrie / Dosimeter

Proportionalitätsbereich → Teilchennachweis (Ort und Zeit)

Geiger Müller Zähler ist selbst verstärkend → keine extra Geräte notwendig

Elektronen & Ionen, die im Abstand r_0 erzeugt werden driften zur Anode/Kathode.

z.B.

$$\Delta t^- = \int_{r_i}^{r_a} \frac{dr}{\theta_0^-} = \int_{r_i}^{r_a} \frac{dr}{\mu^- \cdot E} = \frac{\ln\left(\frac{r_a}{r_i}\right)}{2\mu^- E}$$

[Folie: Eigenschaften von Edelgasen]

[Folie: Vieldrahtproportional- und Driftkammern]

[Folie: MICROMEGAS]

[Folie: GEM / THGEM]

3.2 Halbleiterzähler

Kristallines Si & Ge. Ideoal für $\frac{dE}{dx}$ hochauflösende Ortsmessung

3.2.1 Funktionsprinzip:

- Diode in Sperrrichtung
- ionisierende Strahlung erzeugt e^- /Loch Paare
- äußere Betriebsspannung saugt e^- /Löcher ab

Vorteile:

a) $\langle E \rangle$ zur Erzeugung eines e^- /Loch Paars $\langle E \rangle_{\text{Si}} = 3,6 \text{ eV}$ und $\langle E \rangle_{\text{Ge}} = 2,8 \text{ eV}$.

Zum Vergleich $\langle E \rangle_{\text{Gas}} \approx 10.40 \text{ eV}$ und $\langle E \rangle_{\text{Szint}} = 100 \text{ eV}-1 \text{ keV}$

b) hohe spezifische Dichte $\Rightarrow \frac{dE}{dx}$ groß

c) sehr schnelle ★hier fehlt was★

d) kompakte ★hier fehlt was★

3.2.2 Grundlagen

Festkörper:

★hier fehlt eine Grafik★

Direkte Rekombination $\mathcal{O}(s)$ weil e^- & Loch Energie- und Impulserhaltung.

[Folie: Funktionsprinzip (Halbleiter)]

[Folie: Funktionsprinzip: Streifenzähler]

[Folie: Ultrasonic Bonding]

[Folie: ATLAS Silizium Spurdetektor]

[Folie: Silizium Detektoren als Spur Detektor (CMS: Currently the Most Silicon)]

[Folie: Halbleiter-Pixelzähler]

[Folie: Zukunft: 3D-Technologie]

3.3 Szintillationsdetektor

$\frac{dE}{dx} \rightarrow$ Anregung der Atome/Moleküle \rightarrow Lichtemission $\propto \frac{dE}{dx}$.

Wichtig dabei ist die Transparenz des Detektors für das erzeugte Licht. Vorteilhaft ist deswegen, wenn die Spektralemission im sichtbaren Bereich ist.

Typen:

- organische Kristalle, Flüssigkeiten oder Plastik
- anorganische Kristalle
- flüssige, gasförmige Edelgase

3.3.1 Funktionsprinzip

a) Anorganisch

- Dotieren mit Farbzentren (Aktivatorzentren) (Leerstellen im Gitter)
- Ionisation führt zu freien e^-
- \Rightarrow Rekombination in Aktivatorzentren \rightarrow Anregung selbige \rightarrow Übergang in Grundzustand unter ★hier fehlt was★ } $\mathcal{O}(\mu s)$

b) Organisch

- Ionisation & Anregung von Molekülen
- \rightarrow emittiert beim Zerfall UV- Licht + Wellenlängenverschiebung \Rightarrow sichtbares Licht

[Folie: Szintillatoren]

[Folie: Einsatzprinzip]

[Folie: Emission]

[Folie: Organische Szintillatoren - Licht Absorption]

3.4 Photomultiplier

[Folie: Photomultiplier]

[Folie: Quanteneffizienz]

[Folie: PMT und Szintillator Handhabung]

Kapitel 4

Teilchenidentifikation

Programm Heute

- Cherenkov Strahlung
- Übergangsstrahlung
- Energiemessung
- Elektromagnetische Kalorimeter
- Hadronische Kalorimeter

4.1 Čerenkov Strahlung

★hier fehlt eine Grafik★

Čerenkov Strahlung wird emittiert wenn $v > v_{\text{Phase}}(\text{Medium})$ also bei $\beta > \frac{1}{n_{\text{Medium}}}$.

Der Abstrahlwinkel ist:

$$\cos \theta = \frac{1}{\beta \cdot n} = \frac{v_{\text{Phase}}(\text{Medium})}{v_{\text{Teilchen}}} \Rightarrow \frac{c}{n} \cdot \frac{1}{v_{\text{Teilchen}}}$$

mit n dem Brechungsindex im Medium.

Der maximale Abstrahlwinkel ϑ :

$$\Theta^{\max} = \arccos \frac{1}{n}$$

Schwellenenergie E_s ab der Čerenkov Strahlung auftritt

$$\gamma_s = \frac{E_s}{mc^2} = \frac{1}{\sqrt{1 - \beta_s^2}} = \frac{1}{\sqrt{1 - \frac{1}{n^2}}}$$

[Folie: Leuchten eines Kernreaktors]

[Folie: Čerenkov Effekt]

Anzahl emittierter Photonen

$$\frac{d\mu}{d\lambda} = 2\pi\alpha Z^2 \left(1 - \frac{1}{(p_n)^2}\right) \frac{d\lambda}{\lambda^2} \approx 2\pi\alpha Z^2 \frac{\lambda_2 - \lambda_1}{\lambda_1 \lambda_2} \sin^2 \theta$$

$n = n(\lambda)$

für [400 nm, 700 nm] $\frac{dN}{dx} \approx$ ★hier fehlt was★

$$\left(\frac{dE}{dx}\right)_{\check{C}} \approx 10^{-2} \left(\frac{dE}{dx'}\right)_{\text{Ionis}}$$

als Radiator: alle transparente Stoffe: NaCl, Diamant, Bleiglas, H₂O.

[Folie: Čerenkov Winkel vs. Teilchengeschwindigkeit]

[Folie: Photonenausbeute]

[Folie: Verschiedene Typen]

4.2 Übergangsstrahlung

★hier fehlt eine Grafik★

Teilchen + Spiegelladung \Rightarrow veränderlicher Dipol \Leftrightarrow Übergangsstrahlung

★hier fehlt was★

Abstrahlungscharakteristik

$$\frac{dE}{d\omega d\Omega} = \frac{h\alpha}{\pi^2} \beta^2 \cdot f(\theta)$$

ω : Plasmafrequenz

a) nicht relativistischer Fall $f(\theta) = \sin^2 \theta$

b) relativistischer Fall $f(\theta) = \frac{\sin^2 \theta}{1 - \beta \cos^2 \theta}$

c) $v = \frac{E}{m} \gg 1000$ u.s. Bereich der Röntgenstrahlung

Polarisationsebene definiert durch

- bewegte Ladung
- Abstrahlrichtung des Photonen

Bsp e^- mit $E = 15$ GeV, $\gamma_e = 30000$, $\gamma_\pi = 110$

Wahrscheinlichster Abstrahlwinkel:

$$\theta \approx \sqrt{\frac{1}{\gamma^2} + \frac{\omega_p}{\omega}} \approx \frac{1}{\gamma}$$

\Rightarrow **Kein Grenzwinkel!** verstärkung des Effekts durch mehrfache Übergänge zwischen Medien.

[Folie: Winkelverteilung Übergangsstrahlungsstrahlung]

[Folie: Übergangsstrahlungsdetektoren]

4.3 Kalorimeter

Aufgabe: Messung der Gesamtenergie in Abhängigkeit von der Bauweise

- homogene Schauerzähler/Kalorimeter
- sampling Schauerzähler/Kalorimeter (Stichprobenmessung) \rightarrow Einfluss auf die Auflösung bei der Energiemessung

a) Elektron-Photon Schauer
Einfache Abschätzung

$$N_{e^\pm, \gamma} \approx 2^t \quad E(t) \approx \frac{E_0}{2^t}$$

t : konstante Zeit / Eindringtiefe Schnitte

$x_0 = \frac{1}{C_{\text{RAD}}}$ Strahlungslänge

- Elektronen: $1 - \frac{1}{e} \approx 63\%$ der Energie wird durch Abstrahlung in Photonen abgegeben

- Photonen $1 - \frac{1}{e^{7/9}} \approx 54\%$ Intensität geht durch e^+, e^- Paarbildung verloren

$$t_{\max} = \frac{\ln E_0/E_{\text{Krit}}}{\ln 2} \approx 10,5 X_0$$

$$N_{\max} = \frac{E_0}{E_{\text{Krit}}} \approx 1400 \text{ für } Z = 82$$

genau auf $O(x_3, \dots, x_5)$ genauer mit EGS GEANT

$$\frac{dE}{dt} \propto t^a e^{-bt}$$

mit $t = \frac{x}{x_0}$ (Anzahl Strahlungslängen)

★hier fehlt was★

[Folie: Bremsstrahlung (Bethe-Heitler)]

[Folie: Naives Schauerbild]

[Folie: Longitudinal und Transverse Schauer Profile]

[Folie: Longitudinale Schauerentwicklung]

Kapitel 5

Statistik und Wahrscheinlichkeiten

Literatur

- S.Brandt „Datenanalyse“
- G.Cowan „Statistical Data Analysis“
- R.Barlow „A Guide to the Use of Statistical Methods in Physical Sciences“
- F.James „Statistical and Computational Methods in Experimental Physics“

[Folie: Einführung: Compass Experiment]

[Folie: Einführung in die Statistik]

5.1 Einführung

2 mögliche Ansätze

a) **Frequentist (Zählmensch) Axiome:**

Ereignismenge:

$$E := \{\dots, A, B\}$$

1)

$$P(A) \geq 0 \quad \forall A \in E$$

2)

$$\sum_{A \in E} P(A) = 1 \quad \Rightarrow \quad \text{d.h.} \quad P(E) = 1$$

wenn A_i tatsächlich Ereignisse sind, dann schließen sich A und B gegenseitig aus

3)

$$P(A \wedge B) = P(A) + P(B)$$

nur gültig für den Fall A, B exklusiv

\vee : oder \neg : nicht

\wedge : und \setminus : ohne

$$P(A \wedge \overline{A}) = P(A) + P(\overline{A}) = 1$$

$$\Rightarrow \quad 0 \leq P(A) \leq 1$$

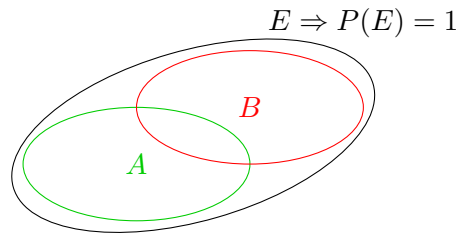


Abbildung 5.1: Gesamtmenge E aller Ereignisse und zwei Ereignisse $A, B \in E$.

$$P(A + B + \dots) = P(A) + P(B) + \dots$$

$$P(\bar{A}) = P(E \setminus A) = 1 - P(A)$$

$$P(A \vee B) = P(A) + P(B) - P(A \wedge B)$$

$$P(A \wedge B) = P(A) + P(B) - P(A \vee B)$$

$$(A \wedge B) + P(A \vee B) = P(A) + P(B)$$

b) Bayes Statistik (bedingte Wahrscheinlichkeit)

$$P(B|A) = \frac{P(A \wedge B)}{P(A)}$$

Allgemein:

$$P(A|B) = \frac{P(B|A) \cdot P(A)}{\sum_i P(B|A_i) \cdot P(A_i)}$$

Beispielrechnung:

Es gibt eine Krankheit und 0,1% der Bevölkerung sind erkrankt (Durchsendung). Es gibt einen Test um die Krankheit festzustellen mit einer 98% Effizienz ($\hat{=}$ Gewissheit) und 3% Fehllalarm ($\hat{=}$ Reinheit)

Frage: Was ist die Wahrscheinlichkeit erkrankt zu sein bei einem positiven Testergebnis (Befund) $P(\text{krank}|+)$

$$P(\text{krank}) = 0,001$$

$$P(\text{gesund}) = 0,999$$

$$P(+|\text{krank}) = 0,98$$

$$P(-|\text{krank}) = 0,02$$

$$\text{Fehllalarm: } P(+|\text{gesund}) = 0,03$$

$$P(-|\text{gesund}) = 0,97$$

$$\begin{aligned} P(\text{krank}|+) &= \frac{P(+|\text{krank}) \cdot P(\text{krank})}{P(+|\text{krank}) \cdot P(\text{krank}) + P(+|\text{gesund}) \cdot P(\text{gesund})} \\ &= \frac{0,98 \cdot 0,001}{0,98 \cdot 0,001 + 0,03 \cdot 0,999} = 0,032 \end{aligned}$$

Die Wahrscheinlichkeit, bei einem positiven Testergebnis, krank zu sein ist also nur 3,2%!!!

5.2 Verteilung einer Zufallsvariable

Population Alle möglichen Ereignisse/Messungen

Stichprobenraum Untermenge ausgewählter Stichproben

Zufallsvariable • diskret

• kontinuierlich

Verteilung einer Zufallsvariable x mit $-\infty \leq x \leq +\infty$

Wahrscheinlichkeitsverteilung Beispiel: Würfel $P = \frac{1}{6}$

★hier fehlt eine Grafik★ Wkeit.vert. Würfel

$$F(x) = \sum_{i=1}^{\max(x)} xp_i$$

monoton. $\max(x)$ = ist der größte Wert für x .

Wahrscheinlichkeitsdichte von x

$$f(x) = \frac{dF}{dx} = F'(x)$$

ist das Maß für die Wahrscheinlichkeit X eines Ereignisses X

$$x \leq X \leq x + dx$$

★hier fehlt eine Grafik★ ★hier fehlt eine Grafik★

[Folie: Histogrammdarstellung]

5.2.1 Diskussion der Verteilungsfunktion

- a) falls die Wahrscheinlichkeitsdichte differenzierbar ist
⇒ **Wahrscheinlichster Wert**

$$\frac{d}{dx}f(x) = 0 \quad \frac{d^2}{dx^2}f(x) < 0$$

- b) **Median** $x_{0.5}$ (50% der Werte kleiner, 50% der Werte größer)
oder auch: Verteilungsfunktion hat den Wert; $\frac{1}{2}$

$$F(0.5) = P(X < x_{0.5})$$

$$\Rightarrow \int_{-\infty}^{x_{0.5}} f(x) dx \stackrel{!}{=} 0.5$$

analog geht man vor für die Momente der Verteilung:

$$E(x^n) = \int_{-\infty}^{\infty} x^n f(x) dx$$

hängt ab von der Wahrscheinlichkeitsdichteverteilung.

Mittelwert (erstes Moment)

$n = 1$

$$\mu = E(x) = \int_{-\infty}^{\infty} x f(x) dx$$

Streuung um Mittelwert

$$E(x - \mu)^n = \int_{-\infty}^{\infty} (x - \mu)^n f(x) dx$$

um den Wahren Wert μ .

Varianz

$n = 2$

$$E(x - \mu)^2 = E(x^2) - \mu^2 = \int_{-\infty}^{\infty} f(x) dx$$

bei $n = 3$: Schiefe

5.11 Wichtige Verteilungen

Motivation

Experiment + Theorie \rightarrow PDF $f(N, \bar{E}, w)$.

5.11.1 Binomialverteilung

Versuch mit zwei möglichen Ereignissen A und \bar{A} Z.B. Münzwurf. Die Wahrscheinlichkeiten dafür sind jeweils $P(A) = p$ und $P(\bar{A}) = 1 - p = q$. Bei N Wiederholungen des Versuchs ist die Wahrscheinlichkeit für

$$X = (\underbrace{A, A, A, \dots, A}_n, \underbrace{\bar{A}, \bar{A}, \bar{A}, \dots, \bar{A}}_{N-n})$$

gleich

$$P(X) = p^n \cdot q^{N-n}$$

Diese Ereignisse können an

$$\binom{N}{n} = \frac{N!}{n!(N-n)!}$$

auftreten.

$$B = f(n, N, p) = \binom{N}{n} p^n q^{N-n}$$

mit der Anzahl des Auftretens von A als Laufparameter $n \in \mathbb{N}_0$.

Erwartungswert

$$E(B(N, p)) = \sum_{n=0}^N n \binom{N}{n} p^n q^{N-n} = \dots = N \cdot p$$

Summenregel für Erwartungswerte

$$E[X_1 + \dots + X_N] = E[X_1] + E[X_2] + \dots + E[X_N] = NE[X_1] = N \cdot p$$

Varianz

$$V[n] = E[n^2] - E[n]^2 = N \cdot p(1-p) = Npq$$

Beispiel 1: Münzwurf wird übersprungen.

Beispiel 2: 10 Exp Messungen einer Größe

Fehler mit $p = 0,683$ liegt der Wahre Wert in dem Intervall $[x, \pm\sigma]$

$$B(10, 10, 0,683) = 0,683^{10} \approx 0,02$$

Man würde also erwarten, dass die Fehler überschätzt wurden.

5.11.2 Poisson Verteilung

Beschreibt im Wesentlichen die Binomialverteilung im Grenzfalle für $N \rightarrow \infty$ und $p \rightarrow 0$. $\Rightarrow N \cdot p = \nu$ endlich.

$$B(n, N, p) \rightarrow f(n, \nu) = \frac{\nu^n}{n!} e^{-\nu}$$

Erwartungswert

$$E[n] = \sum_{n=0}^{\infty} n \cdot \frac{\nu^n}{n!} \cdot e^{-\nu} = \sum_{n=1}^{\infty} n \cdot \frac{\nu^n}{n!} \cdot e^{-\nu} = \nu e^{-\nu} \underbrace{\sum_{n=1}^{\infty} \frac{\nu^{n-1}}{(n-1)!}}_{e^{\nu}} = \nu$$

Varianz

$$V[n] = \sum_{n=0}^{\infty} (n - \nu)^2 \frac{\nu^n}{n!} e^{-\nu} = \nu$$

Standardabweichung $\sigma = \sqrt{\nu}$

Beispiel 3: 50 Szintillatoren 1 Jahr Messen

$$P(A) = 0,01 = 1\%$$

Wobei $A \hat{=}$ Szintillator kaputt nach ≤ 1 Jahr

$$\text{Binomial : } B(0, 50, 0,01) = \binom{50}{0} 0,01^0 \cdot 0,99^{50} = 0,067$$

$$\text{Poisson : } f(0, 0,5) = e^{-0,5} = 0,607$$

$$\nu = N \cdot p = 0,5$$

5.11.3 Gleichverteilung

$$f(x; \alpha, \beta) = \begin{cases} \frac{1}{\beta - \alpha} & \alpha \leq x \leq \beta \\ 0 & \text{sonst} \end{cases}$$

Erwartungswert und Varianz:

$$E[x] = \frac{1}{2}(\alpha + \beta)$$
$$V[x] = \frac{1}{12}(\beta - \alpha)^2$$

5.11.4 Gauß-Verteilung / Normalverteilung

Definition einer Wahrscheinlichkeitsdichte:

1. $f(x) \geq 0 \quad \forall x$
2. $f(x)$ muss integrierbar sein.
3. $\int_{-\infty}^{\infty} f(x) dx = 1$

$$f(x; \mu, \sigma^2) = \frac{1}{\sqrt{2\pi\sigma^2}} e^{-\frac{(x-\mu)^2}{2\sigma^2}}$$

2 Parameter:

- μ = Mittelwert
- σ = Standardabweichung

Erwartungswert

$$E[X] = \int_{-\infty}^{\infty} x \cdot f(x; \mu, \sigma^2) dx = \dots = \mu$$

Varianz

$$V[X] = \int_{-\infty}^{\infty} (x - \mu)^2 \cdot f(x; \mu, \sigma^2) dx = \dots = \sigma^2$$

Verteilungs Dichte (PDF) $\xrightarrow{\text{Integration}}$ Verteilungsfunktion (CDF)

Oft betrachtet man die Standard Normalverteilung:

$$\mu = 0 \quad \sigma = 1$$

$$x = \frac{x}{\sigma} - \mu$$

$$\Phi(x) = \frac{1}{\sqrt{2\pi}} \int_{-\infty}^{\infty} e^{-\frac{1}{2}t^2} dt$$

Verteilungsfunktion der Standard Normalverteilung

Kapitel 7

Stichproben und Schätzwerte

Die **Grundgesamtheit** entspricht allen (unendlich vielen) Werten. Die **Stichprobe** 1 und die Stichprobe 2 sind Teilmengen davon.

Stichprobenvektor $\mathbf{X}(x_1, x_2, x_3, \dots, x_n)$ entspricht der Durchführung eines Experiments.

Die Wahrscheinlichkeitsdichte ist:

$$f(X) = f(x_1) \cdot f(x_2) \cdot \dots \cdot f(x_n)$$

Die Aufgabe ist es dann die Wahrscheinlichkeitsdichte zu beschreiben mit

$$f(X, \theta)$$

mittels einer geeigneten Schätzung.

θ : unbekannter wahrer Parameter

$\hat{\theta}$: Schätzwert von θ (Achtung: ebenfalls Zufallsvariable).

7.0.1 Def: Konsistenz

$$\lim_{n \rightarrow \infty} P(|\hat{\theta} - \theta| \geq \varepsilon) = 0$$

\Rightarrow d.h. Messung ist sinnvoll. Konsistenz ist Mindestanforderung an guten Schätzwert.

Schätzwert finden: Parameter Anpassen

7.0.2 Def: Bias (Versatz) des Schätzwerts

Erwartungswert für Schätzwert $\hat{\theta}$:

$$E[\hat{\theta}(x)] = \int \int \int \hat{\theta}(x) f(x_1) f(x_2) f(x_3) \cdot \dots \cdot f(x_n) dx_1 \dots dx_n$$

Der Bias ist dann:

$$b = E[\hat{\theta}] - \theta$$

Asymptotische Erwartungstreue bedeutet:

$$\lim_{n \rightarrow \infty} b \rightarrow 0$$

$\hat{=}$ “unbiased” Messung

7.1 Arithmetisches Mittel

7.1.1 Def:

$$\bar{x} = \frac{1}{n} \sum_{i=1}^n x_i$$

\bar{x} : Stichprobenmittel \neq Erwartungswert $E[X] = \mu$

Gesetz der großen Zahlen $n \rightarrow \infty \Rightarrow \bar{x} \rightarrow \mu$

$$E[X] = E\left[\frac{1}{n} \sum x_i\right] = \frac{1}{n} \sum \mu_i = \mu$$

d.h. Mittelwert ist ohne Bias.

7.1.2 Def: Varianz der Stichprobe

$$s^2 = \frac{1}{n-1} \sum (x_i - \bar{x})^2$$

Faktor $\frac{1}{n-1}$ so gewählt, dass $E[s^2] = \sigma^2$

Analog für Wertepaare

Kovarianz

$$\begin{aligned} V_{xy} &= \frac{1}{n-1} \sum (x_i - \bar{x})(y_i - \bar{y}) \\ &= \frac{n}{n-1} (\overline{xy} - \bar{x}\bar{y}) \end{aligned}$$

7.2 Anmerkungen zu Unsicherheit

a) Statistische Unsicherheit

- statistische Fluktuationen
- zugrundeliegende Verteilung falsch angenommen
- Messbedingungen identisch?
- Weglassen von Datenpunkten

Beispiel: Messung mit Untergrund:

★hier fehlt eine Grafik★

gegeben: Messgröße $\bar{x}_s = E[x_s]$

Sei Erwartungswert der Ereignisklasse „Signal“ mit Wahrscheinlichkeitsverteilung $f_s(x)$ und sei nicht trennbar von Untergrund. Der Anteil des Untergrunds ist $\alpha \pm \delta\alpha$.

Lösung: Unterteilen der Signalregion in 5σ weg vom Signal \rightarrow 2 Messreihen

1.) Bestimme

$$\bar{x}_n = E[x_n] = \frac{1}{n} \sum_{i=1}^n x_i$$

in Signalfreier Region.

Varianz:

$$\sigma^2(\bar{x}_n) = \frac{\sum x_i^2 - m\bar{x}_n^2}{m(m-1)} = \frac{s_n^2}{m}$$

2.) Bestimme

$$\bar{x}_n = E[x_n] = \frac{1}{n} \sum_{i=1}^n x_i$$

mit Varianz

$$\sigma^2(\bar{x}) = \frac{\sum x_i^2 - n\bar{x}_n^2}{n(n-1)} = \frac{s^2}{n}$$

Wahrscheinlichkeitsverteilung in Signalregion:

$$f(x) = (1 - \alpha)f_s(x) + \alpha f_u(x)$$

$$E[x] = (1 - \alpha)E[x_s] + \alpha E[x_n]$$

$$\bar{x}_s = \frac{1}{1 - \alpha}\bar{x} - \frac{1}{1 - \alpha}\bar{x}_n \pm d$$

$$d^2 \frac{1}{(1 - \alpha)^2} \frac{s^2}{n} + \frac{\alpha^2}{(1 - \alpha)^2} \frac{s_n}{m} + \left(\frac{\bar{x} - x_u}{(1 - \alpha)^2} \right)^2 \delta \alpha^2$$

b) Systematische Unsicherheiten

Bsp.: Metermaß falsch skaliert. Messungen werden in gleicher Weise beeinträchtigt
⇒ Messungen untereinander konsistent also falsch. können zu Bias führen.

Unabhängige Systematische Unsicherheiten

$$\sigma_{\text{sys}}^2 = \sigma_{\text{sys1}}^2 + \sigma_{\text{sys2}}^2 + \dots$$

Am besten immer den statistischen und systematischen Fehler (Unsicherheit) getrennt angeben. z.B.:

$$l = (1 \pm 0,5(\text{stat}) \pm 0,1(\text{syst}))$$